

# Fundamentos de Controle

## Capítulo 4: Controle Ótimo e Filtro de Kalman

*Profs. Antonio Simões Costa e Hamilton Silveira*

EEL - UFSC

# Controle Ótimo: Regulador Linear-Quadrático (LQR)

## Caso Contínuo (I)

- Seja o sistema contínuo controlável, de ordem  $n$ ,

$$\dot{\mathbf{x}} = \mathbf{Ax} + \mathbf{Bu}$$

# Controle Ótimo: Regulador Linear-Quadrático (LQR)

## Caso Contínuo (I)

- Seja o sistema contínuo controlável, de ordem  $n$ ,

$$\dot{\mathbf{x}} = \mathbf{A}\mathbf{x} + \mathbf{B}u$$

- Deseja-se encontrar a lei de controle que minimiza o funcional  $J$  :

$$\min_u J = \frac{1}{2} \int_0^{\infty} (\mathbf{x}^T \mathbf{Q} \mathbf{x} + Ru^2) dt$$

onde  $\mathbf{Q}$  é positiva semidefinida e  $R > 0$ ;

# Controle Ótimo: Regulador Linear-Quadrático (LQR)

## Caso Contínuo (I)

- Seja o sistema contínuo controlável, de ordem  $n$ ,

$$\dot{\mathbf{x}} = \mathbf{A}\mathbf{x} + \mathbf{B}u$$

- Deseja-se encontrar a lei de controle que minimiza o funcional  $J$  :

$$\min_u J = \frac{1}{2} \int_0^{\infty} (\mathbf{x}^T \mathbf{Q} \mathbf{x} + Ru^2) dt$$

onde  $\mathbf{Q}$  é positiva semidefinida e  $R > 0$ ;

- Mostra-se que a solução é do tipo

$$u = -\mathbf{K}\mathbf{x},$$

onde o vetor  $\mathbf{K}$  tem dimensão  $[1 \times n]$ ;

# Controle Ótimo: Regulador Linear-Quadrático (LQR)

## Caso Contínuo (I)

- Seja o sistema contínuo controlável, de ordem  $n$ ,

$$\dot{\mathbf{x}} = \mathbf{A}\mathbf{x} + \mathbf{B}u$$

- Deseja-se encontrar a lei de controle que minimiza o funcional  $J$  :

$$\min_u J = \frac{1}{2} \int_0^{\infty} (\mathbf{x}^T \mathbf{Q} \mathbf{x} + Ru^2) dt$$

onde  $\mathbf{Q}$  é positiva semidefinida e  $R > 0$ ;

- Mostra-se que a solução é do tipo

$$u = -\mathbf{K}\mathbf{x},$$

onde o vetor  $\mathbf{K}$  tem dimensão  $[1 \times n]$ ;

- Para obter  $\mathbf{K}$ , resolve-se a [Equação algébrica de Riccati contínua](#):

$$\mathbf{A}^T \mathbf{P} + \mathbf{P} \mathbf{A} - \mathbf{P} \mathbf{B} R^{-1} \mathbf{B}^T \mathbf{P} = -\mathbf{Q}$$

# Controle Ótimo: Regulador Linear-Quadrático (LQR)

## Caso Contínuo (I)

- Seja o sistema contínuo controlável, de ordem  $n$ ,

$$\dot{\mathbf{x}} = \mathbf{A}\mathbf{x} + \mathbf{B}u$$

- Deseja-se encontrar a lei de controle que minimiza o funcional  $J$  :

$$\min_u J = \frac{1}{2} \int_0^{\infty} (\mathbf{x}^T \mathbf{Q} \mathbf{x} + Ru^2) dt$$

onde  $\mathbf{Q}$  é positiva semidefinida e  $R > 0$ ;

- Mostra-se que a solução é do tipo

$$u = -\mathbf{K}\mathbf{x},$$

onde o vetor  $\mathbf{K}$  tem dimensão  $[1 \times n]$ ;

- Para obter  $\mathbf{K}$ , resolve-se a [Equação algébrica de Riccati contínua](#):

$$\mathbf{A}^T \mathbf{P} + \mathbf{P} \mathbf{A} - \mathbf{P} \mathbf{B} R^{-1} \mathbf{B}^T \mathbf{P} = -\mathbf{Q}$$

- $\mathbf{K}$  é então dado por:

$$\mathbf{K} = R^{-1} \mathbf{B}^T \mathbf{P}$$

# Controle Ótimo: Regulador Linear-Quadrático (LQR)

## Caso Contínuo (II)

Observações:

- A matriz  $\mathbf{Q}$  e o fator escalar  $R$  ponderam os efeitos da minimização sobre os estados e a entrada, respectivamente:

# Controle Ótimo: Regulador Linear-Quadrático (LQR)

## Caso Contínuo (II)

### Observações:

- A matriz  $\mathbf{Q}$  e o fator escalar  $R$  ponderam os efeitos da minimização sobre os estados e a entrada, respectivamente:
  - $\text{diag}(\mathbf{Q}) > R$  :  $\min \|\mathbf{x}\|$  prevalece sobre  $\min |u|$  (esforço de controle);

# Controle Ótimo: Regulador Linear-Quadrático (LQR)

## Caso Contínuo (II)

### Observações:

- A matriz  $\mathbf{Q}$  e o fator escalar  $R$  ponderam os efeitos da minimização sobre os estados e a entrada, respectivamente:
  - $\text{diag}(\mathbf{Q}) > R$  :  $\min \|\mathbf{x}\|$  prevalece sobre  $\min |u|$  (esforço de controle);
  - $R > \text{diag}(\mathbf{Q})$  : enfatiza-se a redução do esforço de controle.

# Controle Ótimo: Regulador Linear-Quadrático (LQR)

## Caso Contínuo (II)

### Observações:

- A matriz  $\mathbf{Q}$  e o fator escalar  $R$  ponderam os efeitos da minimização sobre os estados e a entrada, respectivamente:
  - $\text{diag}(\mathbf{Q}) > R$  :  $\min \|\mathbf{x}\|$  prevalece sobre  $\min |u|$  (esforço de controle);
  - $R > \text{diag}(\mathbf{Q})$  : enfatiza-se a redução do esforço de controle.
- Calculando-se os ganhos  $\mathbf{K}$  como acima, o sistema em malha fechada

$$\dot{\mathbf{x}} = (\mathbf{A} - \mathbf{BK})\mathbf{x}$$

é **estável**, isto é, as raízes de

$$\det [s\mathbf{I} - (\mathbf{A} - \mathbf{BK})] = 0$$

têm todas parte real  $< 0$ ;

# Controle Ótimo: Regulador Linear-Quadrático (LQR)

## Caso Contínuo (II)

### Observações:

- A matriz  $\mathbf{Q}$  e o fator escalar  $R$  ponderam os efeitos da minimização sobre os estados e a entrada, respectivamente:
  - $diag(\mathbf{Q}) > R$  :  $\min \|\mathbf{x}\|$  prevalece sobre  $\min |u|$  (esforço de controle);
  - $R > diag(\mathbf{Q})$  : enfatiza-se a redução do esforço de controle.
- Calculando-se os ganhos  $\mathbf{K}$  como acima, o sistema em malha fechada

$$\dot{\mathbf{x}} = (\mathbf{A} - \mathbf{BK})\mathbf{x}$$

é **estável**, isto é, as raízes de

$$\det [s\mathbf{I} - (\mathbf{A} - \mathbf{BK})] = 0$$

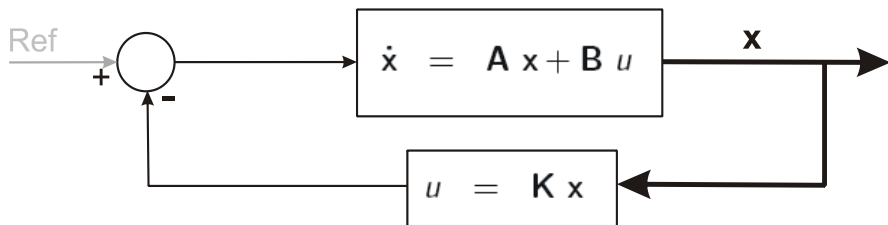
têm todas parte real  $< 0$ ;

- Conseqüentemente

$$\lim_{t \rightarrow \infty} \mathbf{x}(t) = \mathbf{0}$$

# Regulador Linear-Quadrático (LQR)

Sistema em Malha Fechada



# Controle Ótimo: Regulador Linear-Quadrático (LQR)

## Exemplo (I)

Para o sistema representado pela equação dinâmica:

$$\dot{\mathbf{x}} = \begin{bmatrix} 0 & 1 \\ 0 & 1 \end{bmatrix} \mathbf{x} + \begin{bmatrix} 0 \\ 1 \end{bmatrix} u$$

$$y = \begin{bmatrix} 1 & 0 \end{bmatrix} \mathbf{x}$$

encontre a lei de controle baseada na **abordagem LQR** que minimiza o funcional:

$$J = \frac{1}{2} \int_0^{\infty} (x_1^2 + x_2^2 + u^2) dt$$

Adicionalmente:

- Verifique a estabilidade do sistema em malha fechada;
- Re-examine a solução se  $R = 0,5$ ;
- Idem, se  $R = 2$ .

# Controle Ótimo: Regulador Linear-Quadrático (LQR)

## Exemplo (II)

Solução:

- Resolvendo-se a Eq. de Riccati, obtém-se:

$$\mathbf{P} = \begin{bmatrix} 2 & 1 \\ 1 & 3 \end{bmatrix}$$

que é positiva definida (verifique!);

# Controle Ótimo: Regulador Linear-Quadrático (LQR)

## Exemplo (II)

Solução:

- Resolvendo-se a Eq. de Riccati, obtem-se:

$$\mathbf{P} = \begin{bmatrix} 2 & 1 \\ 1 & 3 \end{bmatrix}$$

que é positiva definida (verifique!);

- O ganho  $\mathbf{K}$  é obtido como

$$\mathbf{K} = R^{-1} \mathbf{B}^T \mathbf{P} = (1) \times [0 \quad 1] \times \begin{bmatrix} 2 & 1 \\ 1 & 3 \end{bmatrix} = [1 \quad 3]$$

# Controle Ótimo: Regulador Linear-Quadrático (LQR)

## Exemplo (II)

Solução:

- Resolvendo-se a Eq. de Riccati, obtém-se:

$$\mathbf{P} = \begin{bmatrix} 2 & 1 \\ 1 & 3 \end{bmatrix}$$

que é positiva definida (verifique!);

- O ganho  $\mathbf{K}$  é obtido como

$$\mathbf{K} = \mathbf{R}^{-1} \mathbf{B}^T \mathbf{P} = (1) \times [0 \quad 1] \times \begin{bmatrix} 2 & 1 \\ 1 & 3 \end{bmatrix} = [1 \quad 3]$$

- Lei de controle ótimo:

$$u = - [1 \quad 3] \mathbf{x}$$

# Controle Ótimo: Regulador Linear-Quadrático (LQR)

## Exemplo (II)

Solução:

- Resolvendo-se a Eq. de Riccati, obtém-se:

$$\mathbf{P} = \begin{bmatrix} 2 & 1 \\ 1 & 3 \end{bmatrix}$$

que é positiva definida (verifique!);

- O ganho  $\mathbf{K}$  é obtido como

$$\mathbf{K} = \mathbf{R}^{-1} \mathbf{B}^T \mathbf{P} = (1) \times [0 \quad 1] \times \begin{bmatrix} 2 & 1 \\ 1 & 3 \end{bmatrix} = [1 \quad 3]$$

- Lei de controle ótimo:

$$u = - [1 \quad 3] \mathbf{x}$$

- Autovalores em malha fechada:

$$\det [s\mathbf{I} - (\mathbf{A} - \mathbf{BK})] = \begin{vmatrix} s & -1 \\ 1 & s+2 \end{vmatrix} = (s+1)^2$$

# Controle Ótimo: Regulador Linear-Quadrático (LQR)

## Exemplo (III)

- Portanto os autovalores em malha fechada são:

$$\lambda_1 = \lambda_2 = -1$$

e o sistema é estável;

# Controle Ótimo: Regulador Linear-Quadrático (LQR)

## Exemplo (III)

- Portanto os autovalores em malha fechada são:

$$\lambda_1 = \lambda_2 = -1$$

e o sistema é estável;

- Se agora  $R = 0,5$ , obteríamos

$$\mathbf{K}_1 = [ 1,414 \quad 3,414 ];$$

# Controle Ótimo: Regulador Linear-Quadrático (LQR)

## Exemplo (III)

- Portanto os autovalores em malha fechada são:

$$\lambda_1 = \lambda_2 = -1$$

e o sistema é estável;

- Se agora  $R = 0,5$ , obteríamos

$$\mathbf{K}_1 = [ 1,414 \quad 3,414 ];$$

- Como  $\|\mathbf{K}_1\| > \|\mathbf{K}\|$ , teremos maior esforço de controle;

# Controle Ótimo: Regulador Linear-Quadrático (LQR)

## Exemplo (III)

- Portanto os autovalores em malha fechada são:

$$\lambda_1 = \lambda_2 = -1$$

e o sistema é estável;

- Se agora  $R = 0,5$ , obteríamos

$$\mathbf{K}_1 = [ 1,414 \quad 3,414 ];$$

- Como  $\|\mathbf{K}_1\| > \|\mathbf{K}\|$ , teremos maior esforço de controle;
- Se  $R = 2$ ,

$$\mathbf{K}_2 = [ 0,7 \quad 2,707 ];$$

# Controle Ótimo: Regulador Linear-Quadrático (LQR)

## Exemplo (III)

- Portanto os autovalores em malha fechada são:

$$\lambda_1 = \lambda_2 = -1$$

e o sistema é estável;

- Se agora  $R = 0,5$ , obteríamos

$$\mathbf{K}_1 = [ 1,414 \quad 3,414 ];$$

- Como  $\|\mathbf{K}_1\| > \|\mathbf{K}\|$ , teremos maior esforço de controle;
- Se  $R = 2$ ,

$$\mathbf{K}_2 = [ 0,7 \quad 2,707 ];$$

- Neste caso,  $\|\mathbf{K}_2\| < \|\mathbf{K}\| \Rightarrow$  menor esforço de controle.

# Controle Ótimo: Regulador Linear-Quadrático (LQR)

## Caso Discreto (I)

- Seja o sistema discreto controlável, de ordem  $n$ ,

$$\mathbf{x}(k+1) = \mathbf{\Phi}\mathbf{x}(k) + \mathbf{\Gamma}u(k)$$

# Controle Ótimo: Regulador Linear-Quadrático (LQR)

## Caso Discreto (I)

- Seja o sistema discreto controlável, de ordem  $n$ ,

$$\mathbf{x}(k+1) = \mathbf{\Phi}\mathbf{x}(k) + \mathbf{\Gamma}u(k)$$

- Deseja-se encontrar a lei de controle que minimiza  $J$ :

$$\min_{u(k)} J = \frac{1}{2} \sum_{k=0}^{\infty} (\mathbf{x}^T(k)\mathbf{Q}\mathbf{x}(k) + Ru^2(k))$$

onde  $\mathbf{Q}$  é positiva semidefinida e  $R > 0$ ;

# Controle Ótimo: Regulador Linear-Quadrático (LQR)

## Caso Discreto (I)

- Seja o sistema discreto controlável, de ordem  $n$ ,

$$\mathbf{x}(k+1) = \mathbf{\Phi}\mathbf{x}(k) + \mathbf{\Gamma}u(k)$$

- Deseja-se encontrar a lei de controle que minimiza  $J$ :

$$\min_{u(k)} J = \frac{1}{2} \sum_{k=0}^{\infty} (\mathbf{x}^T(k)\mathbf{Q}\mathbf{x}(k) + Ru^2(k))$$

onde  $\mathbf{Q}$  é positiva semidefinida e  $R > 0$ ;

- Sendo  $\mathbf{K}$  um vetor  $1 \times n$ , mostra-se que a solução é do tipo:

$$u(k) = -\mathbf{K}\mathbf{x}(k)$$

# Controle Ótimo: Regulador Linear-Quadrático (LQR)

## Caso Discreto (I)

- Seja o sistema discreto controlável, de ordem  $n$ ,

$$\mathbf{x}(k+1) = \mathbf{\Phi}\mathbf{x}(k) + \mathbf{\Gamma}u(k)$$

- Deseja-se encontrar a lei de controle que minimiza  $J$ :

$$\min_{u(k)} J = \frac{1}{2} \sum_{k=0}^{\infty} (\mathbf{x}^T(k)\mathbf{Q}\mathbf{x}(k) + Ru^2(k))$$

onde  $\mathbf{Q}$  é positiva semidefinida e  $R > 0$ ;

- Sendo  $\mathbf{K}$  um vetor  $1 \times n$ , mostra-se que a solução é do tipo:

$$u(k) = -\mathbf{K}\mathbf{x}(k)$$

- $\mathbf{K}$  obtido recursivamente a [Eq. de Riccati discreta](#), com  $\mathbf{P}(0) = \mathbf{0}$ :

$$\mathbf{P}(k+1) = \mathbf{Q} + \mathbf{\Phi}^T \mathbf{P}(k) \mathbf{\Phi} - \mathbf{\Phi}^T \mathbf{P}(k) \mathbf{\Gamma} (R + \mathbf{\Gamma}^T \mathbf{P}(k) \mathbf{\Gamma})^{-1} \mathbf{\Gamma}^T \mathbf{P}(k) \mathbf{\Phi}$$

# Controle Ótimo: Regulador Linear-Quadrático (LQR)

## Caso Discreto (I)

- Seja o sistema discreto controlável, de ordem  $n$ ,

$$\mathbf{x}(k+1) = \mathbf{\Phi}\mathbf{x}(k) + \mathbf{\Gamma}u(k)$$

- Deseja-se encontrar a lei de controle que minimiza  $J$  :

$$\min_{u(k)} J = \frac{1}{2} \sum_{k=0}^{\infty} (\mathbf{x}^T(k)\mathbf{Q}\mathbf{x}(k) + Ru^2(k))$$

onde  $\mathbf{Q}$  é positiva semidefinida e  $R > 0$ ;

- Sendo  $\mathbf{K}$  um vetor  $1 \times n$ , mostra-se que a solução é do tipo:

$$u(k) = -\mathbf{K}\mathbf{x}(k)$$

- $\mathbf{K}$  obtido recursivamente a [Eq. de Riccati discreta](#), com  $\mathbf{P}(0) = \mathbf{0}$ :

$$\mathbf{P}(k+1) = \mathbf{Q} + \mathbf{\Phi}^T \mathbf{P}(k) \mathbf{\Phi} - \mathbf{\Phi}^T \mathbf{P}(k) \mathbf{\Gamma} (R + \mathbf{\Gamma}^T \mathbf{P}(k) \mathbf{\Gamma})^{-1} \mathbf{\Gamma}^T \mathbf{P}(k) \mathbf{\Phi}$$

- Finalmente:

$$\mathbf{K} = (R + \mathbf{\Gamma}^T \mathbf{P} \mathbf{\Gamma})^{-1} \mathbf{\Gamma}^T \mathbf{P} \mathbf{\Phi}$$

# Controle Ótimo: Regulador Linear-Quadrático (LQR)

## Caso Discreto (II)

Observações:

- A matriz  $\mathbf{Q}$  e o fator escalar  $R$  ponderam os efeitos da minimização sobre os estados e a entrada, respectivamente;

# Controle Ótimo: Regulador Linear-Quadrático (LQR)

## Caso Discreto (II)

Observações:

- A matriz  $\mathbf{Q}$  e o fator escalar  $R$  ponderam os efeitos da minimização sobre os estados e a entrada, respectivamente;
- Se  $\mathbf{Q}$  for definida positiva e o  $R$  for positivo, a matriz  $\mathbf{K}$  calculada conforme acima garante que as raízes da equação característica,

$$\det [zI - (\Phi - \Gamma\mathbf{K})] = 0,$$

estejam dentro do círculo unitário;

# Controle Ótimo: Regulador Linear-Quadrático (LQR)

## Caso Discreto (II)

Observações:

- A matriz  $\mathbf{Q}$  e o fator escalar  $R$  ponderam os efeitos da minimização sobre os estados e a entrada, respectivamente;
- Se  $\mathbf{Q}$  for definida positiva e o  $R$  for positivo, a matriz  $\mathbf{K}$  calculada conforme acima garante que as raízes da equação característica,

$$\det [zI - (\Phi - \Gamma\mathbf{K})] = 0,$$

estejam dentro do círculo unitário;

- Garante-se portanto que

$$\lim_{k \rightarrow \infty} \mathbf{x}(k) = \mathbf{0},$$

# Controle Ótimo: Regulador Linear-Quadrático (LQR)

## Caso Discreto - Exemplo (I)

Encontrar a solução ótima do problema linear-quadrático para o sistema representado pela equação dinâmica

$$\mathbf{x}(k+1) = \begin{bmatrix} 7 & 5 \\ 1 & 0 \end{bmatrix} \mathbf{x}(k) + \begin{bmatrix} 1 \\ 0 \end{bmatrix} u(k),$$

considerando  $\mathbf{Q} = 10\mathbf{I}$  e  $R = 1$ .

Verifique também a estabilidade do sistema em malha fechada.

# Controle Ótimo: Regulador Linear-Quadrático

## Caso Discreto - Exemplo (II)

Solução:

- Do processo, podemos escrever

$$\Phi = \begin{bmatrix} 7 & 5 \\ 1 & 0 \end{bmatrix} \quad \text{e} \quad \Gamma = \begin{bmatrix} 1 \\ 0 \end{bmatrix}$$

# Controle Ótimo: Regulador Linear-Quadrático

## Caso Discreto - Exemplo (II)

Solução:

- Do processo, podemos escrever

$$\Phi = \begin{bmatrix} 7 & 5 \\ 1 & 0 \end{bmatrix} \quad \text{e} \quad \Gamma = \begin{bmatrix} 1 \\ 0 \end{bmatrix}$$

- O sinal de controle é calculado por

$$u(k) = -\mathbf{K}\mathbf{x}(k)$$

# Controle Ótimo: Regulador Linear-Quadrático

## Caso Discreto - Exemplo (II)

Solução:

- Do processo, podemos escrever

$$\Phi = \begin{bmatrix} 7 & 5 \\ 1 & 0 \end{bmatrix} \quad \text{e} \quad \Gamma = \begin{bmatrix} 1 \\ 0 \end{bmatrix}$$

- O sinal de controle é calculado por

$$u(k) = -\mathbf{K}\mathbf{x}(k)$$

- A matriz  $\mathbf{P}$  é calculada pela fórmula

$$\mathbf{P}(k+1) = \mathbf{Q} + \Phi^T \mathbf{P}(k) \Phi - \Phi^T \mathbf{P}(k) \Gamma (R + \Gamma^T \mathbf{P}(k) \Gamma)^{-1} \Gamma^T \mathbf{P}(k) \Phi$$

considerando-se

$$\mathbf{Q} = 10 \mathbf{I}, \quad R = 1, \quad \mathbf{P}(0) = \mathbf{0}.$$

# Controle Ótimo: Regulador Linear-Quadrático (LQR)

## Caso Discreto - Exemplo (II)

- Em 10 iterações, tem-se

$$\mathbf{P} = \begin{bmatrix} 83,176 & 36,768 \\ 36,768 & 34,703 \end{bmatrix}$$

e

$$\mathbf{K} = (R + \mathbf{\Gamma}^T \mathbf{P} \mathbf{\Gamma})^{-1} \mathbf{\Gamma}^T \mathbf{P} \mathbf{\Phi} = [7,354 \quad 4,941].$$

# Controle Ótimo: Regulador Linear-Quadrático (LQR)

## Caso Discreto - Exemplo (IV)

- Portanto, a lei de controle é:

$$u = - [7,354 \quad 4,941] \mathbf{x}$$

# Controle Ótimo: Regulador Linear-Quadrático (LQR)

## Caso Discreto - Exemplo (IV)

- Portanto, a lei de controle é:

$$u = - [7, 354 \quad 4, 941] \mathbf{x}$$

- Os autovalores do sistema em malha fechada são obtidos de

$$\det [zI - (\Phi - \Gamma\mathbf{K})] = 0;$$

# Controle Ótimo: Regulador Linear-Quadrático (LQR)

## Caso Discreto - Exemplo (IV)

- Portanto, a lei de controle é:

$$u = - [7, 354 \quad 4, 941] \mathbf{x}$$

- Os autovalores do sistema em malha fechada são obtidos de

$$\det [zI - (\mathbf{\Phi} - \mathbf{\Gamma}\mathbf{K})] = 0;$$

- Com  $\mathbf{\Phi}$  e  $\mathbf{\Gamma}$  dados e  $\mathbf{K}$  calculado conforme acima, temos que

$$\lambda_1^{MF} = 0,124 \quad \text{e} \quad \lambda_2^{MF} = -0,478$$

# Controle Ótimo: Regulador Linear-Quadrático (LQR)

## Caso Discreto - Exemplo (IV)

- Portanto, a lei de controle é:

$$u = - [7, 354 \quad 4, 941] \mathbf{x}$$

- Os autovalores do sistema em malha fechada são obtidos de

$$\det [zI - (\mathbf{\Phi} - \mathbf{\Gamma}\mathbf{K})] = 0;$$

- Com  $\mathbf{\Phi}$  e  $\mathbf{\Gamma}$  dados e  $\mathbf{K}$  calculado conforme acima, temos que

$$\lambda_1^{MF} = 0,124 \quad \text{e} \quad \lambda_2^{MF} = -0,478$$

- Como

$$\left| \lambda_i^{MF} \right| < 1$$

o sistema em malha fechada é estável.

- O Capítulo 3 introduziu uma abordagem via **alocação arbitrária de polos** para o projeto de controladores baseados na lei de controle  $u = -\mathbf{K} \mathbf{x}$ ;

# Filtro de Kalman

## Introdução

- O Capítulo 3 introduziu uma abordagem via **alocação arbitrária de polos** para o projeto de controladores baseados na lei de controle  $u = -\mathbf{K} \mathbf{x}$ ;
- Este capítulo apresenta uma abordagem alternativa para implementar a mesma lei de controle, onde  $\mathbf{K}$  é obtido através da minimização de um funcional  $J(\hat{\mathbf{x}})$ , ou seja, mediante uma **alocação ótima** dos polos;

# Filtro de Kalman

## Introdução

- O Capítulo 3 introduziu uma abordagem via **alocação arbitrária de polos** para o projeto de controladores baseados na lei de controle  $u = -\mathbf{K} \mathbf{x}$ ;
- Este capítulo apresenta uma abordagem alternativa para implementar a mesma lei de controle, onde  $\mathbf{K}$  é obtido através da minimização de um funcional  $J(\hat{\mathbf{x}})$ , ou seja, mediante uma **alocação ótima** dos polos;
- Também foi visto no Capítulo 3 que o projeto de **observadores de estado** pode igualmente ser realizado via alocação arbitrária de polos;

# Filtro de Kalman

## Introdução

- O Capítulo 3 introduziu uma abordagem via **alocação arbitrária de polos** para o projeto de controladores baseados na lei de controle  $u = -\mathbf{K} \mathbf{x}$ ;
- Este capítulo apresenta uma abordagem alternativa para implementar a mesma lei de controle, onde  $\mathbf{K}$  é obtido através da minimização de um funcional  $J(\hat{\mathbf{x}})$ , ou seja, mediante uma **alocação ótima** dos polos;
- Também foi visto no Capítulo 3 que o projeto de **observadores de estado** pode igualmente ser realizado via alocação arbitrária de polos;
- É natural portanto levantar a questão sobre a possibilidade de se utilizar também uma **abordagem ótima para o projeto do observador**;

# Filtro de Kalman

## Introdução

- O Capítulo 3 introduziu uma abordagem via **alocação arbitrária de polos** para o projeto de controladores baseados na lei de controle  $u = -\mathbf{K} \mathbf{x}$ ;
- Este capítulo apresenta uma abordagem alternativa para implementar a mesma lei de controle, onde  $\mathbf{K}$  é obtido através da minimização de um funcional  $J(\hat{\mathbf{x}})$ , ou seja, mediante uma **alocação ótima** dos polos;
- Também foi visto no Capítulo 3 que o projeto de **observadores de estado** pode igualmente ser realizado via alocação arbitrária de polos;
- É natural portanto levantar a questão sobre a possibilidade de se utilizar também uma **abordagem ótima para o projeto do observador**;
- A resposta à pergunta é **afirmativa**, e se baseia em uma **formulação estocástica** para o problema, que leva em conta:

# Filtro de Kalman

## Introdução

- O Capítulo 3 introduziu uma abordagem via **alocação arbitrária de polos** para o projeto de controladores baseados na lei de controle  $u = -\mathbf{K} \mathbf{x}$ ;
- Este capítulo apresenta uma abordagem alternativa para implementar a mesma lei de controle, onde  $\mathbf{K}$  é obtido através da minimização de um funcional  $J(\hat{\mathbf{x}})$ , ou seja, mediante uma **alocação ótima** dos polos;
- Também foi visto no Capítulo 3 que o projeto de **observadores de estado** pode igualmente ser realizado via alocação arbitrária de polos;
- É natural portanto levantar a questão sobre a possibilidade de se utilizar também uma **abordagem ótima para o projeto do observador**;
- A resposta à pergunta é **afirmativa**, e se baseia em uma **formulação estocástica** para o problema, que leva em conta:
  - a incidência de **ruídos no processo** (entrada), e

# Filtro de Kalman

## Introdução

- O Capítulo 3 introduziu uma abordagem via **alocação arbitrária de polos** para o projeto de controladores baseados na lei de controle  $u = -\mathbf{K} \mathbf{x}$ ;
- Este capítulo apresenta uma abordagem alternativa para implementar a mesma lei de controle, onde  $\mathbf{K}$  é obtido através da minimização de um funcional  $J(\hat{\mathbf{x}})$ , ou seja, mediante uma **alocação ótima** dos polos;
- Também foi visto no Capítulo 3 que o projeto de **observadores de estado** pode igualmente ser realizado via alocação arbitrária de polos;
- É natural portanto levantar a questão sobre a possibilidade de se utilizar também uma **abordagem ótima para o projeto do observador**;
- A resposta à pergunta é **afirmativa**, e se baseia em uma **formulação estocástica** para o problema, que leva em conta:
  - a incidência de **ruídos no processo** (entrada), e
  - a incidência de **ruídos de medição** (saída).

# Filtro de Kalman - Caso contínuo

## Formulação do problema considerando ruídos

Considera-se a incidência de ruídos no processo (entrada) e na medição (saída):

$$\begin{aligned}\dot{\mathbf{x}} &= \mathbf{A}\mathbf{x} + \mathbf{B}u + \mathbf{w} \\ y &= \mathbf{C}\mathbf{x} + v\end{aligned}$$

onde

- $\mathbf{w}$  : ruídos no processo, com média zero e variância  $\mathbf{Q}_o\delta(t - \tau)$ ;

# Filtro de Kalman - Caso contínuo

## Formulação do problema considerando ruídos

Considera-se a incidência de ruídos no processo (entrada) e na medição (saída):

$$\begin{aligned}\dot{\mathbf{x}} &= \mathbf{A}\mathbf{x} + \mathbf{B}u + \mathbf{w} \\ y &= \mathbf{C}\mathbf{x} + v\end{aligned}$$

onde

- $\mathbf{w}$  : ruídos no processo, com média zero e variância  $\mathbf{Q}_o\delta(t - \tau)$ ;
- $v$ : ruídos na medição, com média zero e variância  $R_o\delta(t - \tau)$ .

# Filtro de Kalman - Caso contínuo

## Formulação do problema considerando ruídos

Considera-se a incidência de ruídos no processo (entrada) e na medição (saída):

$$\begin{aligned}\dot{\mathbf{x}} &= \mathbf{A}\mathbf{x} + \mathbf{B}u + \mathbf{w} \\ y &= \mathbf{C}\mathbf{x} + v\end{aligned}$$

onde

- $\mathbf{w}$  : ruídos no processo, com média zero e variância  $\mathbf{Q}_o\delta(t - \tau)$ ;
- $v$ : ruídos na medição, com média zero e variância  $R_o\delta(t - \tau)$ .
- Exemplo - Controle de uma aeronave:

# Filtro de Kalman - Caso contínuo

## Formulação do problema considerando ruídos

Considera-se a incidência de ruídos no processo (entrada) e na medição (saída):

$$\begin{aligned}\dot{\mathbf{x}} &= \mathbf{A}\mathbf{x} + \mathbf{B}u + \mathbf{w} \\ y &= \mathbf{C}\mathbf{x} + v\end{aligned}$$

onde

- $\mathbf{w}$  : ruídos no processo, com média zero e variância  $\mathbf{Q}_o\delta(t - \tau)$ ;
- $v$ : ruídos na medição, com média zero e variância  $R_o\delta(t - \tau)$ .
- Exemplo - Controle de uma aeronave:
  - $\mathbf{w}$  : perturbações aleatórias devido ao vento;

# Filtro de Kalman - Caso contínuo

## Formulação do problema considerando ruídos

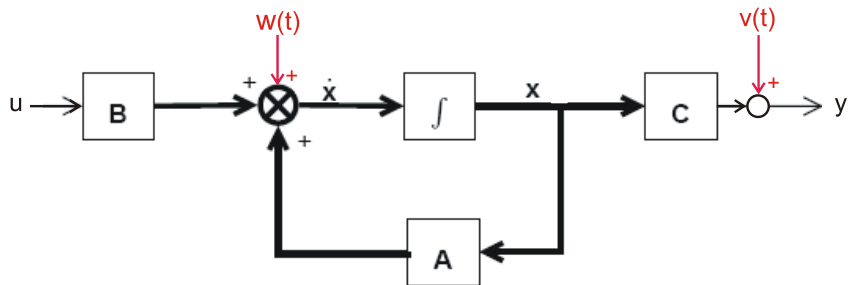
Considera-se a incidência de ruídos no processo (entrada) e na medição (saída):

$$\begin{aligned}\dot{\mathbf{x}} &= \mathbf{A}\mathbf{x} + \mathbf{B}u + \mathbf{w} \\ y &= \mathbf{C}\mathbf{x} + v\end{aligned}$$

onde

- $\mathbf{w}$  : ruídos no processo, com média zero e variância  $\mathbf{Q}_o\delta(t - \tau)$ ;
- $v$ : ruídos na medição, com média zero e variância  $R_o\delta(t - \tau)$ .
- Exemplo - Controle de uma aeronave:
  - $\mathbf{w}$  : perturbações aleatórias devido ao vento;
  - $v$  : erros aleatórios devido a imprecisões nos sensores.

# Representação dos Ruídos no Processo e na Medição



# Observador ótimo na presença de ruídos (Filtro de Kalman)

- Kalman desenvolveu um observador ótimo capaz de minimizar os impactos dos ruídos do processo e de medição no erro de estimação;

# Observador ótimo na presença de ruídos (Filtro de Kalman)

- Kalman desenvolveu um observador ótimo capaz de minimizar os impactos dos ruídos do processo e de medição no erro de estimação;
- A estrutura do observador é dada por:

$$\dot{\hat{\mathbf{x}}} = \mathbf{A}\hat{\mathbf{x}} + \mathbf{B}u + \mathbf{L}(y - \mathbf{C}\hat{\mathbf{x}})$$

# Observador ótimo na presença de ruídos (Filtro de Kalman)

- Kalman desenvolveu um observador ótimo capaz de minimizar os impactos dos ruídos do processo e de medição no erro de estimação;
- A estrutura do observador é dada por:

$$\dot{\hat{\mathbf{x}}} = \mathbf{A}\hat{\mathbf{x}} + \mathbf{B}u + \mathbf{L}(y - \mathbf{C}\hat{\mathbf{x}})$$

- O ganho  $\mathbf{L}$  que minimiza o impacto dos ruídos no erro de estimação é dado por

$$\mathbf{L} = \mathbf{S}\mathbf{C}^T R_o^{-1}$$

# Observador ótimo na presença de ruídos (Filtro de Kalman)

- Kalman desenvolveu um observador ótimo capaz de minimizar os impactos dos ruídos do processo e de medição no erro de estimação;
- A estrutura do observador é dada por:

$$\dot{\hat{\mathbf{x}}} = \mathbf{A}\hat{\mathbf{x}} + \mathbf{B}u + \mathbf{L}(y - \mathbf{C}\hat{\mathbf{x}})$$

- O ganho  $\mathbf{L}$  que minimiza o impacto dos ruídos no erro de estimação é dado por

$$\mathbf{L} = \mathbf{S}\mathbf{C}^T R_o^{-1}$$

- A matriz  $\mathbf{S}$  é a solução semidefinida positiva da equação de Riccati:

$$\mathbf{A}\mathbf{S} + \mathbf{S}\mathbf{A}^T - \mathbf{S}\mathbf{C}^T R_o^{-1} \mathbf{C}\mathbf{S} = -\mathbf{Q}_o$$

# Observador ótimo na presença de ruídos (Filtro de Kalman)

- Kalman desenvolveu um observador ótimo capaz de minimizar os impactos dos ruídos do processo e de medição no erro de estimação;
- A estrutura do observador é dada por:

$$\dot{\hat{\mathbf{x}}} = \mathbf{A}\hat{\mathbf{x}} + \mathbf{B}u + \mathbf{L}(y - \mathbf{C}\hat{\mathbf{x}})$$

- O ganho  $\mathbf{L}$  que minimiza o impacto dos ruídos no erro de estimação é dado por

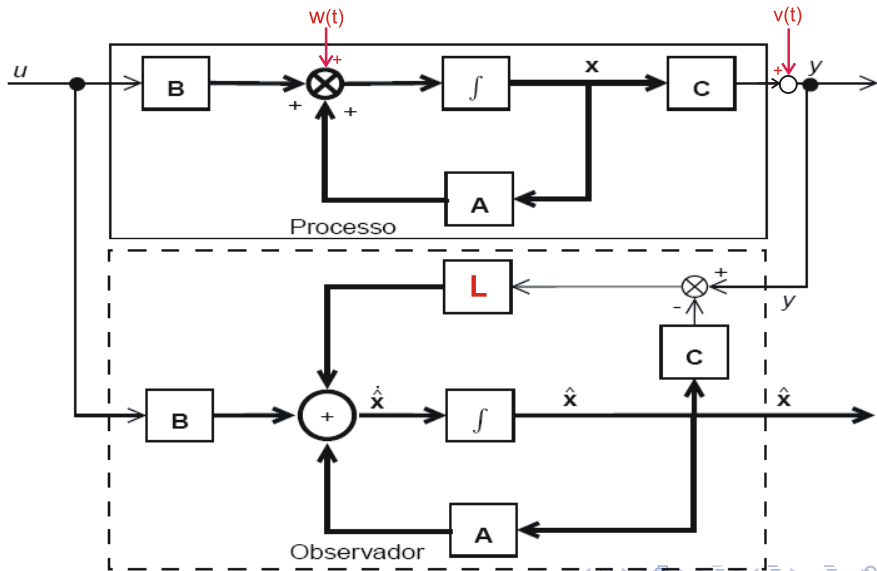
$$\mathbf{L} = \mathbf{S}\mathbf{C}^T R_o^{-1}$$

- A matriz  $\mathbf{S}$  é a solução semidefinida positiva da equação de Riccati:

$$\mathbf{A}\mathbf{S} + \mathbf{S}\mathbf{A}^T - \mathbf{S}\mathbf{C}^T R_o^{-1} \mathbf{C}\mathbf{S} = -\mathbf{Q}_o$$

- Observe a perfeita **dualidade** entre esta equação e a equação de Riccati do Regulador Linear-Quadrático, com  $\mathbf{B}$  substituída por  $\mathbf{C}^T$ .

# Estrutura do Filtro de Kalman - Caso Contínuo



- Os conceitos associados ao Filtro de Kalman são muito importantes e muito utilizados na Teoria da Estimação e suas aplicações práticas;

## Filtro de Kalman contínuo: observações finais

- Os conceitos associados ao Filtro de Kalman são muito importantes e muito utilizados na Teoria da Estimação e suas aplicações práticas;
- Nestas aplicações,  $\mathbf{Q}_o$  e  $R_o$  são de fato interpretadas como matrizes de covariância dos ruídos de medição e do processo, respectivamente;

# Filtro de Kalman contínuo: observações finais

- Os conceitos associados ao Filtro de Kalman são muito importantes e muito utilizados na Teoria da Estimação e suas aplicações práticas;
- Nestas aplicações,  $\mathbf{Q}_o$  e  $R_o$  são de fato interpretadas como matrizes de covariância dos ruídos de medição e do processo, respectivamente;
- Neste curso, entretanto, nosso interesse está no projeto de sistemas de controle;

# Filtro de Kalman contínuo: observações finais

- Os conceitos associados ao Filtro de Kalman são muito importantes e muito utilizados na Teoria da Estimação e suas aplicações práticas;
- Nestas aplicações,  $\mathbf{Q}_o$  e  $R_o$  são de fato interpretadas como matrizes de covariância dos ruídos de medição e do processo, respectivamente;
- Neste curso, entretanto, nosso interesse está no projeto de sistemas de controle;
- Desse ponto de vista,  $\mathbf{Q}_o$  e  $R_o$  podem ser vistas como parâmetros de projeto, e não necessariamente como covariâncias dos ruídos de medição e do processo.

# Filtro de Kalman discreto

- Seja o sistema discreto e *observável*, de ordem  $n$ :

$$\mathbf{x}(k+1) = \mathbf{\Phi}\mathbf{x}(k) + \mathbf{\Gamma}u(k)$$

$$y(k) = \mathbf{C}\mathbf{x}(k)$$

# Filtro de Kalman discreto

- Seja o sistema discreto e *observável*, de ordem  $n$ :

$$\mathbf{x}(k+1) = \mathbf{\Phi}\mathbf{x}(k) + \mathbf{\Gamma}u(k)$$

$$y(k) = \mathbf{C}\mathbf{x}(k)$$

- Podemos definir um observador da seguinte forma

$$\hat{\mathbf{x}}(k+1) = \mathbf{\Phi}\hat{\mathbf{x}}(k) + \mathbf{\Gamma}u(k) + \mathbf{L}[y(k) - \mathbf{C}\hat{\mathbf{x}}(k)]$$

# Filtro de Kalman discreto

- Seja o sistema discreto e *observável*, de ordem  $n$ :

$$\begin{aligned}\mathbf{x}(k+1) &= \mathbf{\Phi}\mathbf{x}(k) + \mathbf{\Gamma}u(k) \\ y(k) &= \mathbf{C}\mathbf{x}(k)\end{aligned}$$

- Podemos definir um observador da seguinte forma

$$\hat{\mathbf{x}}(k+1) = \mathbf{\Phi}\hat{\mathbf{x}}(k) + \mathbf{\Gamma}u(k) + \mathbf{L}[y(k) - \mathbf{C}\hat{\mathbf{x}}(k)]$$

- O vetor  $\mathbf{L}$ , de dimensão  $[n \times 1]$ , é obtido como:

$$\mathbf{L} = \mathbf{\Phi}\mathbf{S}\mathbf{C}^T(R_o + \mathbf{C}\mathbf{S}\mathbf{C}^T)^{-1}$$

# Filtro de Kalman discreto

- Seja o sistema discreto e *observável*, de ordem  $n$ :

$$\begin{aligned} \mathbf{x}(k+1) &= \mathbf{\Phi}\mathbf{x}(k) + \mathbf{\Gamma}u(k) \\ y(k) &= \mathbf{C}\mathbf{x}(k) \end{aligned}$$

- Podemos definir um observador da seguinte forma

$$\hat{\mathbf{x}}(k+1) = \mathbf{\Phi}\hat{\mathbf{x}}(k) + \mathbf{\Gamma}u(k) + \mathbf{L}[y(k) - \mathbf{C}\hat{\mathbf{x}}(k)]$$

- O vetor  $\mathbf{L}$ , de dimensão  $[n \times 1]$ , é obtido como:

$$\mathbf{L} = \mathbf{\Phi}\mathbf{S}\mathbf{C}^T(R_o + \mathbf{C}\mathbf{S}\mathbf{C}^T)^{-1}$$

- A matriz  $\mathbf{S}$  é calculada como a solução "de regime permanente" da equação a diferenças:

$$\mathbf{S}(k+1) = \mathbf{Q}_o + \mathbf{\Phi}\mathbf{S}(k)\mathbf{\Phi}^T - \mathbf{\Phi}\mathbf{S}(k)\mathbf{C}^T(R_o + \mathbf{C}\mathbf{S}(k)\mathbf{C}^T)^{-1}\mathbf{C}\mathbf{S}(k)\mathbf{\Phi}^T$$

onde  $\mathbf{Q}_o$  (positiva definida) e  $R_o > 0$  são especificados como parâmetros de projeto e  $\mathbf{S}(0) = \mathbf{0}$ .

# Exemplo para o caso discreto (I)

Encontrar um observador, baseado em filtro de Kalman, para o processo

$$\begin{aligned}\mathbf{x}(k+1) &= \begin{bmatrix} 7 & 5 \\ 1 & 0 \end{bmatrix} \mathbf{x}(k) + \begin{bmatrix} 1 \\ 0 \end{bmatrix} u(k) \\ y(k) &= [1 \ 0] \mathbf{x}(k),\end{aligned}$$

considerando  $\mathbf{Q}_o = 10\mathbf{I}$  e  $R_o = 1$ .

# Exemplo para o caso discreto (II)

Solução:

- Considera-se:

$$\mathbf{Q}_o = 10\mathbf{I}; \quad R_o = 1 \quad \mathbf{S}(0) = \mathbf{0}$$

## Exemplo para o caso discreto (II)

Solução:

- Considera-se:

$$\mathbf{Q}_o = 10\mathbf{I}; \quad R_o = 1 \quad \mathbf{S}(0) = \mathbf{0}$$

- A matriz de Riccati é obtida a partir de

$$\mathbf{S}(k+1) = \mathbf{Q}_o + \mathbf{\Phi}\mathbf{S}(k)\mathbf{\Phi}^T - \mathbf{\Phi}\mathbf{S}(k)\mathbf{C}^T (\mathbf{R}_o + \mathbf{C}\mathbf{S}(k)\mathbf{C}^T)^{-1} \mathbf{C}\mathbf{S}(k)\mathbf{\Phi}^T$$

## Exemplo para o caso discreto (II)

Solução:

- Considera-se:

$$\mathbf{Q}_o = 10\mathbf{I}; \quad R_o = 1 \quad \mathbf{S}(0) = \mathbf{0}$$

- A matriz de Riccati é obtida a partir de

$$\mathbf{S}(k+1) = \mathbf{Q}_o + \Phi \mathbf{S}(k) \Phi^T - \Phi \mathbf{S}(k) \mathbf{C}^T (R_o + \mathbf{C} \mathbf{S}(k) \mathbf{C}^T)^{-1} \mathbf{C} \mathbf{S}(k) \Phi^T$$

- Em 10 iterações, tem-se

$$\mathbf{S} = \begin{bmatrix} 331,494 & 7,085 \\ 7,085 & 10,997 \end{bmatrix}$$

## Exemplo para o caso discreto (II)

Solução:

- Considera-se:

$$\mathbf{Q}_o = 10\mathbf{I}; \quad R_o = 1 \quad \mathbf{S}(0) = \mathbf{0}$$

- A matriz de Riccati é obtida a partir de

$$\mathbf{S}(k+1) = \mathbf{Q}_o + \Phi \mathbf{S}(k) \Phi^T - \Phi \mathbf{S}(k) \mathbf{C}^T (R_o + \mathbf{C} \mathbf{S}(k) \mathbf{C}^T)^{-1} \mathbf{C} \mathbf{S}(k) \Phi^T$$

- Em 10 iterações, tem-se

$$\mathbf{S} = \begin{bmatrix} 331,494 & 7,085 \\ 7,085 & 10,997 \end{bmatrix}$$

- Portanto:

$$\mathbf{L} = \Phi \mathbf{S} \mathbf{C}^T (R_o + \mathbf{C} \mathbf{S} \mathbf{C}^T)^{-1} = \begin{bmatrix} 7,085 \\ 0,997 \end{bmatrix}$$

## Exemplo para o caso discreto (III)

- O Observador resultante é dado por:

$$\begin{aligned}\hat{\mathbf{x}}(k+1) &= (\mathbf{\Phi} - \mathbf{LC})\hat{\mathbf{x}}(k) + \mathbf{\Gamma}u(k) + \mathbf{L}y(k) \\ &= \begin{bmatrix} -0,085 & 5 \\ 0,003 & 0 \end{bmatrix} \hat{\mathbf{x}}(k) + \begin{bmatrix} 1 \\ 0 \end{bmatrix} u(k) + \begin{bmatrix} 7,085 \\ 0,997 \end{bmatrix} y(k).\end{aligned}$$

# Problema Linear-Quadrático-Gaussiano (LQG)

## Definição

- À combinação de um controlador LQR e um observador de estados baseado no Filtro de Kalman dá-se o nome de *Problema Linear-Quadrático-Gaussiano (LQG)*;

# Problema Linear-Quadrático-Gaussiano (LQG)

## Definição

- À combinação de um controlador LQR e um observador de estados baseado no Filtro de Kalman dá-se o nome de *Problema Linear-Quadrático-Gaussiano (LQG)*;
- O termo *Gaussiano* refere-se ao fato de que a distribuição estatística dos ruídos no processo ( $\omega$ ) e de medição ( $v$ ) é suposta ser Gaussiana;

# Problema Linear-Quadrático-Gaussiano (LQG)

## Definição

- À combinação de um controlador LQR e um observador de estados baseado no Filtro de Kalman dá-se o nome de *Problema Linear-Quadrático-Gaussiano (LQG)*;
- O termo *Gaussiano* refere-se ao fato de que a distribuição estatística dos ruídos no processo ( $\omega$ ) e de medição ( $v$ ) é suposta ser Gaussiana;
- É necessário verificar se a abordagem LQG fornece um sistema em malha fechada que permanece estável e ótimo.

# Problema Linear-Quadrático-Gaussiano (LQG)

## Enunciado (I)

- As equações da planta de interesse são:

$$\dot{\mathbf{x}} = \mathbf{A}\mathbf{x} + \mathbf{B}u + \mathbf{w}$$

$$y = \mathbf{C}\mathbf{x} + v$$

# Problema Linear-Quadrático-Gaussiano (LQG)

## Enunciado (I)

- As equações da planta de interesse são:

$$\dot{\mathbf{x}} = \mathbf{A}\mathbf{x} + \mathbf{B}u + \mathbf{w}$$

$$y = \mathbf{C}\mathbf{x} + v$$

- A parte do controlador é dada por:

$$u = -\mathbf{K}\hat{\mathbf{x}}(t)$$

$$\mathbf{K} = \mathbf{R}^{-1}\mathbf{B}^T\mathbf{P}$$

sendo  $\mathbf{P}$  obtida resolvendo-se a equação de Riccati

$$\mathbf{A}^T\mathbf{P} + \mathbf{P}\mathbf{A} - \mathbf{P}\mathbf{B}\mathbf{R}^{-1}\mathbf{B}^T\mathbf{P} = -\mathbf{Q}$$

# Problema Linear-Quadrático-Gaussiano (LQG)

## Enunciado (II)

- A parte do **observador** é dada por:

$$\begin{aligned}\dot{\hat{\mathbf{x}}} &= \mathbf{A}\hat{\mathbf{x}} + \mathbf{B}u + \mathbf{L}(y - \mathbf{C}\hat{\mathbf{x}}) \\ \mathbf{L} &= \mathbf{S}\mathbf{C}^T R_o^{-1}\end{aligned}$$

sendo **S** obtida resolvendo-se a equação de Riccati

$$\mathbf{A}\mathbf{S} + \mathbf{S}\mathbf{A}^T - \mathbf{S}\mathbf{C}^T R_o^{-1}\mathbf{C}\mathbf{S} = -\mathbf{Q}_o$$

# Problema Linear-Quadrático-Gaussiano (LQG)

## Controlador LQG

- Considerando-se  $u = -\mathbf{K} \hat{\mathbf{x}}$  na equação do observador:

$$\dot{\hat{\mathbf{x}}} = \mathbf{A}\hat{\mathbf{x}} + \mathbf{B}u + \mathbf{L}(y - \mathbf{C}\hat{\mathbf{x}})$$

# Problema Linear-Quadrático-Gaussiano (LQG)

## Controlador LQG

- Considerando-se  $u = -\mathbf{K} \hat{\mathbf{x}}$  na equação do observador:

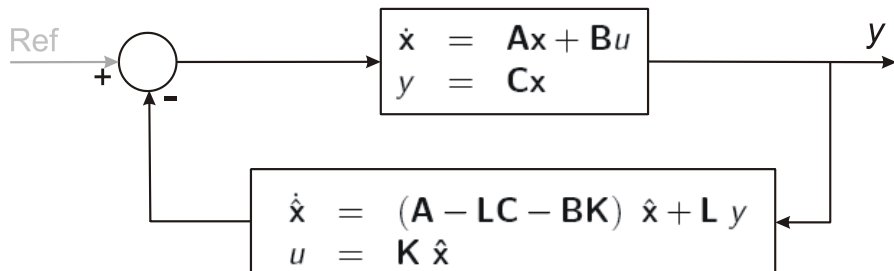
$$\dot{\hat{\mathbf{x}}} = \mathbf{A}\hat{\mathbf{x}} + \mathbf{B}u + \mathbf{L}(y - \mathbf{C}\hat{\mathbf{x}})$$

- obtêm-se as equações do **controlador LQG**, dadas por:

$$\begin{aligned}\dot{\hat{\mathbf{x}}} &= (\mathbf{A} - \mathbf{L}\mathbf{C} - \mathbf{B}\mathbf{K}) \hat{\mathbf{x}} + \mathbf{L} y \\ u &= -\mathbf{K} \hat{\mathbf{x}}\end{aligned}$$

# Problema Linear-Quadrático-Gaussiano (LQG)

Sistema em Malha Fechada



# Problema Linear-Quadrático-Gaussiano (LQG)

## Propriedades

- Pode ser mostrado que a solução LQG resulta em um sistema **assintoticamente estável** em malha fechada;

# Problema Linear-Quadrático-Gaussiano (LQG)

## Propriedades

- Pode ser mostrado que a solução LQG resulta em um sistema **assintoticamente estável** em malha fechada;
- Além disso, o controlador minimiza o funcional do problema LQR  $\Rightarrow$  **solução ótima**;

# Problema Linear-Quadrático-Gaussiano (LQG)

## Propriedades

- Pode ser mostrado que a solução LQG resulta em um sistema **assintoticamente estável** em malha fechada;
- Além disso, o controlador minimiza o funcional do problema LQR  $\Rightarrow$  **solução ótima**;
- Como as estruturas do controlador e do Filtro de Kalman são similares às do Capítulo 3, aplica-se igualmente o **princípio da separação**  $\Rightarrow$  **filtro e controlador podem ser projetados independentemente**.

# Problema Linear-Quadrático-Gaussiano (LQG)

## Exemplo (I)

Projetar controladores LQR e LQG para um sistema que consiste de um integrador duplo, cuja função de transferência é:

$$G(s) = \frac{1}{s^2}$$

- No projeto do controlador LQR, considere que

$$\mathbf{Q} = \begin{bmatrix} 1 & 0 \\ 0 & 0 \end{bmatrix} \quad \text{e} \quad R = 1;$$

# Problema Linear-Quadrático-Gaussiano (LQG)

## Exemplo (I)

Projetar controladores LQR e LQG para um sistema que consiste de um integrador duplo, cuja função de transferência é:

$$G(s) = \frac{1}{s^2}$$

- No projeto do controlador LQR, considere que

$$\mathbf{Q} = \begin{bmatrix} 1 & 0 \\ 0 & 0 \end{bmatrix} \quad \text{e} \quad R = 1;$$

- No projeto do filtro de Kalman, utilize

$$\mathbf{Q}_o = \begin{bmatrix} 1 & 0 \\ 0 & 1 \end{bmatrix} \quad \text{e} \quad R_o = 1;$$

# Problema Linear-Quadrático-Gaussiano (LQG)

## Exemplo (I)

Projetar controladores LQR e LQG para um sistema que consiste de um integrador duplo, cuja função de transferência é:

$$G(s) = \frac{1}{s^2}$$

- No projeto do controlador LQR, considere que

$$\mathbf{Q} = \begin{bmatrix} 1 & 0 \\ 0 & 0 \end{bmatrix} \quad \text{e} \quad R = 1;$$

- No projeto do filtro de Kalman, utilize

$$\mathbf{Q}_o = \begin{bmatrix} 1 & 0 \\ 0 & 1 \end{bmatrix} \quad \text{e} \quad R_o = 1;$$

- Obtenha as funções de transferência dos compensadores e do sistema compensado em malha aberta e compare os desempenhos das estratégias em termos das respectivas margens de fase e respostas temporais.

### Realização da planta em FCO:

- Parâmetros dos polinômios  $N(s)$  e  $D(s)$  :

$$G(s) = \frac{1}{s^2} \Rightarrow \begin{cases} N(s) = 0s + 1 \Rightarrow b_1 = 0, b_2 = 1 \\ D(s) = s^2 + 0s + 0 \Rightarrow a_1 = 0, a_2 = 0 \end{cases}$$

# Problema Linear-Quadrático-Gaussiano (LQG)

## Exemplo (II)

### Realização da planta em FCO:

- Parâmetros dos polinômios  $N(s)$  e  $D(s)$  :

$$G(s) = \frac{1}{s^2} \Rightarrow \begin{cases} N(s) = 0s + 1 \Rightarrow b_1 = 0, b_2 = 1 \\ D(s) = s^2 + 0s + 0 \Rightarrow a_1 = 0, a_2 = 0 \end{cases}$$

- Realização em FCO:

$$\dot{\mathbf{x}} = \begin{bmatrix} 0 & 1 \\ 0 & 0 \end{bmatrix} \mathbf{x} + \begin{bmatrix} 0 \\ 1 \end{bmatrix} u$$

$$y = \begin{bmatrix} 1 & 0 \end{bmatrix} \mathbf{x}$$

### Realização da planta em FCO:

- Parâmetros dos polinômios  $N(s)$  e  $D(s)$  :

$$G(s) = \frac{1}{s^2} \Rightarrow \begin{cases} N(s) = 0s + 1 \Rightarrow b_1 = 0, b_2 = 1 \\ D(s) = s^2 + 0s + 0 \Rightarrow a_1 = 0, a_2 = 0 \end{cases}$$

- Realização em FCO:

$$\dot{\mathbf{x}} = \begin{bmatrix} 0 & 1 \\ 0 & 0 \end{bmatrix} \mathbf{x} + \begin{bmatrix} 0 \\ 1 \end{bmatrix} u$$

$$y = \begin{bmatrix} 1 & 0 \end{bmatrix} \mathbf{x}$$

- Pelo Teorema de Kalman, esta realização é *controlável* e *observável* (embora seja *instável!*).

# Problema Linear-Quadrático-Gaussiano (LQG)

## Exemplo (III)

### Projeto LQR (I)

- Considerando que

$$\mathbf{A} = \begin{bmatrix} 0 & 1 \\ 0 & 0 \end{bmatrix}; \quad \mathbf{B} = \begin{bmatrix} 0 \\ 1 \end{bmatrix} \quad \mathbf{Q} = \begin{bmatrix} 1 & 0 \\ 0 & 0 \end{bmatrix}; \quad R = 1,$$

devemos resolver a equação algébrica de Riccati:

$$\mathbf{A}^T \mathbf{P} + \mathbf{P} \mathbf{A} - \mathbf{P} \mathbf{B} R^{-1} \mathbf{B}^T \mathbf{P} = -\mathbf{Q}$$

em que  $\mathbf{P}$  é simétrica e positiva semidefinida:

$$\mathbf{P} = \begin{bmatrix} p_{11} & p_{12} \\ p_{12} & p_{22} \end{bmatrix};$$

# Problema Linear-Quadrático-Gaussiano (LQG)

## Exemplo (III)

### Projeto LQR (I)

- Considerando que

$$\mathbf{A} = \begin{bmatrix} 0 & 1 \\ 0 & 0 \end{bmatrix}; \quad \mathbf{B} = \begin{bmatrix} 0 \\ 1 \end{bmatrix} \quad \mathbf{Q} = \begin{bmatrix} 1 & 0 \\ 0 & 0 \end{bmatrix}; \quad R = 1,$$

devemos resolver a equação algébrica de Riccati:

$$\mathbf{A}^T \mathbf{P} + \mathbf{P} \mathbf{A} - \mathbf{P} \mathbf{B} R^{-1} \mathbf{B}^T \mathbf{P} = -\mathbf{Q}$$

em que  $\mathbf{P}$  é simétrica e positiva semidefinida:

$$\mathbf{P} = \begin{bmatrix} p_{11} & p_{12} \\ p_{12} & p_{22} \end{bmatrix};$$

- Solução:

$$\mathbf{P} = \begin{bmatrix} \sqrt{2} & 1 \\ 1 & \sqrt{2} \end{bmatrix}$$

# Problema Linear-Quadrático-Gaussiano (LQG)

## Exemplo (IV)

- Ganho  $\mathbf{K}$ :

$$\mathbf{K} = \mathbf{R}^{-1} \mathbf{B}^T \mathbf{P} = [ 1 \quad \sqrt{2} ]$$

# Problema Linear-Quadrático-Gaussiano (LQG)

## Exemplo (IV)

- Ganho  $\mathbf{K}$ :

$$\mathbf{K} = \mathbf{R}^{-1} \mathbf{B}^T \mathbf{P} = \begin{bmatrix} 1 & \sqrt{2} \end{bmatrix}$$

- Matriz  $\mathbf{A}$  em malha fechada:

$$\mathbf{A}_{MF} = \mathbf{A} - \mathbf{BK} = \begin{bmatrix} 0 & 1 \\ -1 & -\sqrt{2} \end{bmatrix}$$

# Problema Linear-Quadrático-Gaussiano (LQG)

## Exemplo (IV)

- Ganho  $\mathbf{K}$ :

$$\mathbf{K} = \mathbf{R}^{-1} \mathbf{B}^T \mathbf{P} = \begin{bmatrix} 1 & \sqrt{2} \end{bmatrix}$$

- Matriz  $\mathbf{A}$  em malha fechada:

$$\mathbf{A}_{MF} = \mathbf{A} - \mathbf{BK} = \begin{bmatrix} 0 & 1 \\ -1 & -\sqrt{2} \end{bmatrix}$$

- Autovalores em malha fechada:

$$\lambda_{1,2} = \frac{\sqrt{2}}{2}(-1 \pm j) \Rightarrow \text{sistema é estabilizado, } \zeta = 0,707.$$

# Problema Linear-Quadrático-Gaussiano (LQG)

## Exemplo (IV)

- Ganho  $\mathbf{K}$ :

$$\mathbf{K} = \mathbf{R}^{-1} \mathbf{B}^T \mathbf{P} = \begin{bmatrix} 1 & \sqrt{2} \end{bmatrix}$$

- Matriz  $\mathbf{A}$  em malha fechada:

$$\mathbf{A}_{MF} = \mathbf{A} - \mathbf{BK} = \begin{bmatrix} 0 & 1 \\ -1 & -\sqrt{2} \end{bmatrix}$$

- Autovalores em malha fechada:

$$\lambda_{1,2} = \frac{\sqrt{2}}{2}(-1 \pm j) \Rightarrow \text{sistema é estabilizado, } \zeta = 0,707.$$

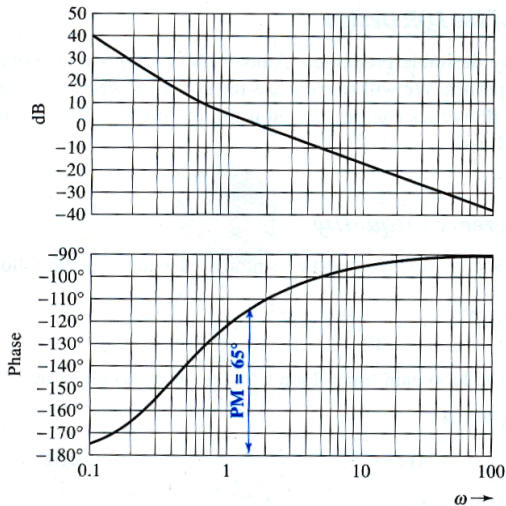
- Função de transferência em malha aberta:

$$FTMA(s) = \mathbf{K}(s\mathbf{I} - \mathbf{A})^{-1} \mathbf{B} = \frac{1 + \sqrt{2}s}{s^2}$$

# Problema Linear-Quadrático-Gaussiano (LQG)

Exemplo (V)

## Diagramas de Bode e Margem de Fase



# Problema Linear-Quadrático-Gaussiano (LQG)

## Exemplo (VI)

### Projeto LQG (I)

- Neste caso:

$$\mathbf{A} = \begin{bmatrix} 0 & 1 \\ 0 & 0 \end{bmatrix}; \quad \mathbf{c} = [1 \quad 0] \quad \mathbf{Q}_o = \begin{bmatrix} 1 & 0 \\ 0 & 1 \end{bmatrix}; \quad R_o = 1,$$

# Problema Linear-Quadrático-Gaussiano (LQG)

## Exemplo (VI)

### Projeto LQG (I)

- Neste caso:

$$\mathbf{A} = \begin{bmatrix} 0 & 1 \\ 0 & 0 \end{bmatrix}; \quad \mathbf{c} = [1 \quad 0] \quad \mathbf{Q}_o = \begin{bmatrix} 1 & 0 \\ 0 & 1 \end{bmatrix}; \quad R_o = 1,$$

- Equação de Riccati:

$$\mathbf{AS} + \mathbf{SA}^T - \mathbf{SC}^T R_o^{-1} \mathbf{CS} = -\mathbf{Q}_o$$

# Problema Linear-Quadrático-Gaussiano (LQG)

## Exemplo (VI)

### Projeto LQG (I)

- Neste caso:

$$\mathbf{A} = \begin{bmatrix} 0 & 1 \\ 0 & 0 \end{bmatrix}; \quad \mathbf{c} = [1 \quad 0] \quad \mathbf{Q}_o = \begin{bmatrix} 1 & 0 \\ 0 & 1 \end{bmatrix}; \quad R_o = 1,$$

- Equação de Riccati:

$$\mathbf{AS} + \mathbf{SA}^T - \mathbf{SC}^T R_o^{-1} \mathbf{CS} = -\mathbf{Q}_o$$

- Solução:

$$\mathbf{S} = \begin{bmatrix} \sqrt{3} & 1 \\ 1 & \sqrt{3} \end{bmatrix}$$

# Problema Linear-Quadrático-Gaussiano (LQG)

## Exemplo (VI)

### Projeto LQG (I)

- Neste caso:

$$\mathbf{A} = \begin{bmatrix} 0 & 1 \\ 0 & 0 \end{bmatrix}; \quad \mathbf{c} = [1 \quad 0] \quad \mathbf{Q}_o = \begin{bmatrix} 1 & 0 \\ 0 & 1 \end{bmatrix}; \quad R_o = 1,$$

- Equação de Riccati:

$$\mathbf{AS} + \mathbf{SA}^T - \mathbf{SC}^T R_o^{-1} \mathbf{CS} = -\mathbf{Q}_o$$

- Solução:

$$\mathbf{S} = \begin{bmatrix} \sqrt{3} & 1 \\ 1 & \sqrt{3} \end{bmatrix}$$

- Matriz  $\mathbf{L}$  :

$$\mathbf{L} = \mathbf{SC}^T R_o^{-1} = \begin{bmatrix} \sqrt{3} \\ 1 \end{bmatrix}$$

## Projeto LQG(II)

- Função de transferência do compensador:

$$H(s) = \mathbf{K} (s\mathbf{I} - \mathbf{A} + \mathbf{LC} + \mathbf{BK})^{-1} \mathbf{L}$$

$$H(s) = \frac{3,14(s + 0,31)}{(s + 1,57 + j1,4)(s + 1,57 - j1,4)}$$

## Projeto LQG(II)

- Função de transferência do compensador:

$$H(s) = \mathbf{K} (s\mathbf{I} - \mathbf{A} + \mathbf{LC} + \mathbf{BK})^{-1} \mathbf{L}$$

$$H(s) = \frac{3,14(s + 0,31)}{(s + 1,57 + j1,4)(s + 1,57 - j1,4)}$$

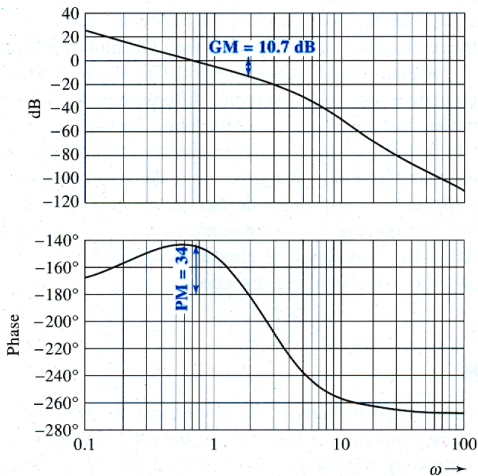
- Mostra-se que os polos em MF são

$$\frac{\sqrt{2}}{2}(-1 \pm j), \frac{1}{2}(-\sqrt{3} \pm j)$$

# Problema Linear-Quadrático-Gaussiano (LQG)

Exemplo (VIII)

## Diagramas de Bode e Margem de Fase para o projeto LQG



# Problema Linear-Quadrático-Gaussiano (LQG)

Comparação de desempenho: LQG versus LQR

- LQR apresenta margens de estabilidade maiores;

# Problema Linear-Quadrático-Gaussiano (LQG)

Comparação de desempenho: LQG versus LQR

- LQR apresenta margens de estabilidade maiores;
- Ganho em baixa frequência do LQR = 40 dB, enquanto para o LQG é de 27 dB : LQR apresenta melhor precisão em regime permanente;

# Problema Linear-Quadrático-Gaussiano (LQG)

Comparação de desempenho: LQG versus LQR

- LQR apresenta margens de estabilidade maiores;
- Ganho em baixa frequência do LQR = 40 dB, enquanto para o LQG é de 27 dB : LQR apresenta melhor precisão em regime permanente;
- LQR apresenta maior faixa passante: é mais sensível a ruído, porém apresenta resposta mais rápida;

# Problema Linear-Quadrático-Gaussiano (LQG)

Comparação de desempenho: LQG versus LQR

- LQR apresenta margens de estabilidade maiores;
- Ganho em baixa frequência do LQR =  $40 \text{ dB}$ , enquanto para o LQG é de  $27 \text{ dB}$  : LQR apresenta melhor precisão em regime permanente;
- LQR apresenta maior faixa passante: é mais sensível a ruído, porém apresenta resposta mais rápida;
- LQG tem melhores propriedade de supressão de ruídos, pois a inclinação do diagrama de Bode de magnitude é de  $-60 \text{ dB}$  a altas frequências, contra  $-20 \text{ dB}$  para o LQR.